

住友金属(株) 本社 井下昭雄

1. はじめに

引抜力式は塑性加工力推定の基礎式として、従来から種々提案されたりるが、複雑なものが多く、簡単なものは加工度の広い範囲に適用する場合に精度の点などでかなり無理がある。本稿はこれらの難点を克服した新しい式を提案したもので、それは鋼管の浮アラグ引抜実験結果と比較して加工力をより正確に推定している。

2. 管引抜力式の導出

管引抜力 P を構成する諸要素として、断面減少(線歪)力 F_e 、附加的剪断力 F_s 、摩擦剪断力 F_f の引抜方向成分 F_{fa} がある。尚、この F_{fa} はダイス面摩擦力 F_f の引抜方向成分に等しい。従って (1) 式が成立する。

$$P = F_e + F_s + F_{fa} \quad \dots \dots \dots (1)$$

ところが、 F_e は良く知られていよいに (2) 式で与えられる。

$$F_e = A_i \cdot K_m \cdot \ln(A_0/A_i) \quad \dots \dots \dots (2) \quad A_0, A_i; \text{引抜前後断面積}, K_m; \text{平均変形抵抗}$$

次に F_s を考える。図.1 を参照して、縫織維は丸から移動してダイス入口 m で方向変化を受けるが、このとき微小体積 $dV = A \cdot \Delta a$ が受けた剪断仕事を W は (3) 式で与えられる。(3) 式中で τ_s は降伏剪断応力で von Mises によれば、 $\tau_s = \frac{K_m}{\sqrt{3}}$ である。

$$W = \int_{r_1}^{r_0} (\tau_s \cdot \alpha) \cdot (2\pi r \cdot dr) \cdot \Delta a = \int_{r_1}^{r_0} \frac{K_m}{\sqrt{3}} \cdot \left(\frac{r}{r_0} \cdot \alpha_0 \right) \cdot (2\pi r \cdot dr \cdot \Delta a) = \frac{2\pi K_m \cdot \alpha_0 \cdot \Delta a \cdot (r_0^3 - r_1^3)}{3\sqrt{3} \cdot r_0} \quad \dots \dots \dots (3)$$

一方 W をなすに要する等価な引抜応力 G_{so} を考えると $W = G_{so} \cdot \pi (r_0^2 - r_1^2) \cdot \Delta a$ として、
 $G_{so} = \frac{2K_m \cdot \alpha_0 \cdot (r_0^2 + 16r_1^2 + r_1^4)}{3\sqrt{3} r_0 (r_0 + r_1)}$ 同様にダイス出口におけるも考え、合計して、

$$F_s = \frac{4A_i \cdot K_m \cdot \alpha_0 \cdot (r_0^2 + 16r_1^2 + r_1^4)}{3\sqrt{3} r_0 (r_0 + r_1)} \quad \dots \dots \dots (4)$$

さし F_{fa} については図.2 を参照して (5) 式を得る。

$$F_{fa} = \mu \cdot N \cos \alpha_0 = \tan \vartheta \cdot \left\{ \frac{P \cos \vartheta}{\sin(\vartheta + \alpha_0)} \right\} \cdot \cos \alpha_0 = \frac{P \sin \vartheta \cdot \cos \alpha_0}{\sin(\vartheta + \alpha_0)} \quad \dots \dots \dots (5) \quad N; \text{垂直抗力}, \mu; \text{摩擦係数} \text{ で } \mu = \tan \vartheta$$

従って、(1)、(2)、(4)、(5) 式より (6) 式を得る。(尚、中実材では $r_1=0$) 表.1 実験結果

$$P = \frac{A_i \cdot K_m \left\{ \ln(A_0/A_i) + \frac{4\alpha_0(r_0^2 + 16r_1^2 + r_1^4)}{3\sqrt{3} r_0 (r_0 + r_1)} \right\}}{1 - \frac{\sin \vartheta \cos \alpha_0}{\sin(\vartheta + \alpha_0)}} \quad \dots \dots \dots (6)$$

尚、(6) 式には β が含まれてないが、これは F_s に対する β の影響を無視したためで、管内面縫織維の β が $\beta < \alpha$ の方向変化を受ける程度が大となるれば問題となろう。

3. 引抜実験

実験に用いた原管は、C 0.08%, Si 0.19%, Mn 0.42%, Fe bal. の低炭素鋼管を表.1 の原管寸法に仕上げ後焼処理し、表面を磷酸亜鉛下地(9.6%鉛) + 金属石けん(3.6%鉛)で潤滑処理した。尚、引抜実験は各原管をテ-バ角 $2\beta=25^\circ$ のタ-イスで 20×2 に仕上げた。尚、各工程毎にテ-バ角 2β が $16^\circ, 19^\circ, 22^\circ$ のアラグを用いた。

4. 実験結果とまとめ

表.1 および図.3 より、本提案式による計算値は実測値と良く一致しており、本加工力解析手法に妥当性が認められた。従って本法は、加工分野一般に適用可能である。

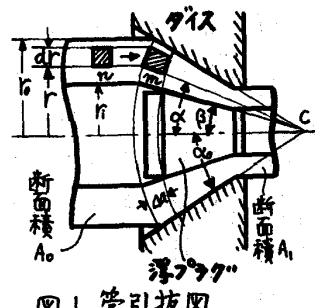


図.1 管引抜図

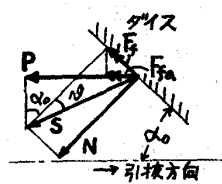


図.2 ベクトル図

工 程	原管寸法 (mm) (外径×肉厚)	引抜力実測値 (ton)	減 面 率 (%)	K _m (Mpa)	計 算 値 (ton)
	2φ=16°	19°	22°		
A	24.5 × 2.3	3.37	4.03	4.06	28.0
B	25.6 × 2.3	4.66	4.71	4.43	32.5
C	26.7 × 2.4	4.92	4.98	4.96	36.6
D	28.2 × 2.6	5.39	6.03	5.66	42.2
				56.1	5.76

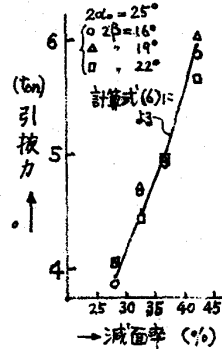


図.3 引抜力-減面率図